



IRANIAN SOCIETY of  
CRYSTALLOGRAPHY  
and MINERALOGY

IRANIAN JOURNAL of  
CRYSTALLOGRAPHY  
and MINERALOGY

Vol. 16, No. 4, Winter 1387/2009

## A new method in quantity and 3D network determination of minerals in petrological studies with micromodeling; a case study from garnet at the first skarn zone of Hassan-Abaad, Yazd

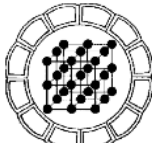
S. Zandifar, M.V. Valizadeh, V. Tavakoli, M. A. Barghi

School of Geology, University College of science, University of Tehran, Tehran, Iran  
Email: szandifar@khayam.ut.ac.ir

(Received: 26/11/2007, in revised form: 7/4/2008)

**Abstract:** The determination of mineral quantities is one of the primary purposes of petrology and economic geology studies. When producing skarn zonation, it is necessary for the quantities of minerals in each zone to be known. Currently, various methods of determination for mineral quantities in rock bodies have been developed, but a rapid, accurate and economic method for distinguishing 3D mineral distribution has not yet been understood. This study introduces such a method for distinguishing 3D mineral distribution based on image sequence modelling of rocks. In the studied area, -Hassan-Abaad of Taft, central Iran- garnet is one of the most important and most frequent minerals found in skarns and is present in a variety of types and places. For our study, we sampled a very thin layer of rock (300 microns) and prepared a digital photo at every stage of our analysis. Prepared images were analyzed using MATLAB software. Each value of the image with its x, y and z coordinates was stored in a new matrix. Matrices were modelled in RockWorks and filtered based on the mean standard deviation of the modelled data, producing garnet networks. The studied zone had 31.4% garnet, allowing to be considered a garnet-wollastonite zone. This method is also useful for different calculations, such as: determining rock type, field zonation, calculation of the amount of mine and waste material, fluid inclusion studies and distinguishing type and volume of rock porosity.

**Keywords:** *micromodeling, 3D network, garnet, mineral volume quantity, Hassan-Abaad, Yazd.*



# روشی نوین در تعیین مقدار کانیها، و توزیع شبکه سه بعدی آنها در بررسیهای سنگ شناسی، با استفاده از ریزمدل سازی، و بررسی موردی گارنت در اولین زون اسکارن

## حسن آباد بیزد

سمیرا زندی‌فر، محمدولی ولی‌زاده، وحید توکلی، محمدعلی برقی

دانشکده زمین‌شناسی، پردیس علوم، دانشگاه تهران

پست الکترونیکی: szandifar@khayam.ut.ac.ir

(دریافت مقاله ۱۳۸۶/۸/۵، نسخه نهایی: ۱۳۸۷/۱/۱۹)

چکیده: اندازه‌گیری مقدار کانیها و تعیین توزیع فضایی آنها یکی از اولویت‌های اصلی بررسیهای زمین‌شناسی اقتصادی و سنگ‌شناسی است. امروزه روش‌های متعددی برای تعیین میزان کانیهای موجود در یک سنگ وجود دارد، ولی روشی سریع، ارزان، و دقیقی که شبکه سه بعدی کانیهای موجود در یک سنگ را نشان دهد، در دسترس نیست. در این بررسی با استفاده از تهیه تصاویر رقومی پیوسته از یک سنگ، مدل سه بعدی کانی (گارنت) موجود در آن ترسیم می‌شود. بدین منظور تصاویر پیوسته از نمونه‌ها با ضخامت ۳۰۰ میکرون تهیه و در نرمافزار متلب مورد پردازش قرار گرفت، و مدل سازی حجمی نهایی در نرمافزار راکورکس انجام پذیرفت. شبکه گارنتها از حذف زمینه سنگ در مدل به دست آمده با استفاده از انحراف معیار داده‌ها ساخته شد، و با استفاده از نسبت حجم مدل فیلتر شده به حجم مدل اولیه، مقدار حجمی گارنت سنگ محاسبه شد. با توجه به مقدار  $31/4$  درصدی گارنت می‌توان زون مورد مطالعه را زون گارنت-ولاتستونیت نامید. این روش را می‌توان در مواردی مانند تعیین تخلخل سنگها، محاسبه عیار ماده معدنی و باطله کانسارها، بررسی آبغونهای درگیر، مشخص کردن نام سنگ، منطقه بندی، تعیین آرایش، و جهت یافتنی سه بعدی کانیها نیز به کاربرد.

واژه‌های کلیدی: ریزمدل سازی، شبکه سه بعدی، گارنت، مقدار کانی، حسن آباد بیزد.

یکسان است که تعداد این سلولها به حد تفکیک (resolution) داده‌های موجود بستگی دارد. هرچه فاصله حقيقی داده‌ها کمتر باشد، ابعاد واحد شبکه نیز کوچکتر شده و تعداد سلولها بیشتر می‌شود. برخوردگاه خطوط تشکیل دهنده این شبکه که گره (node) شبکه خوانده می‌شود، با استفاده از داده‌های موجود محاسبه می‌شود (شکل ۱). این مقادیر برای ارزش‌دهی به هر سلول، مورد استفاده قرار می‌گیرد. ارزش‌های مربوط به سلولهای مختلف در سه بعد فضایی معمولاً با استفاده از مقیاس رنگی نمایش داده می‌شود. این نمایش سه بعدی، تصویری از توزیع پارامتر مورد نظر را در فضا نشان می‌دهد. چنانچه بخشی

### ۱- مقدمه

امروزه مدل‌های سه بعدی ایستا (stochastic) در بررسیهای گوناگون زمین‌شناسی کاربردهای فراوان دارند [۱-۴]. این مدل‌ها در مقیاس‌های گوناگون و در موارد مختلف، توزیع فضایی پارامتر مورد مطالعه را نشان می‌دهند. با پیشرفت روش‌ها و الگوریتم‌های ریاضی ساخت مدل‌های گوناگون، مدل‌سازی امروزی به یکی از توانمندترین روش‌ها در بررسیهای توزیع سه بعدی شاخصهای مورد مطالعه تبدیل شده است. در اغلب نرمافزارها مدل‌سازی برایه یک شبکه از پیش طراحی شده انجام می‌شود. شبکه مدل‌سازی سه بعدی، مجموعه‌ای از سلولها با ابعاد کاملاً

تفاوت در شیمی ماقما، ترکیب سنگ میزبان، عمق تشکیل، و حالت اکسایش است [۷]. از موارد مهم در بررسی اسکارنهای اندازه گیری مقدار کانیهای اصلی هر بخش برای نامگذاری زون هاست. به همین دلیل روشی که بتواند مقدار دقیق توزیع کانی خاصی را در حجم سنگ نشان دهد، در بررسیهای سنگ شناسی و زمین شناسی اقتصادی بسیار سودمند خواهد بود. امروزه روشهای متعددی برای تعیین میزان کانیهای موجود در یک سنگ وجود دارند که غالباً پرهزینه، وقت گیر، و در مواردی غیر کاربردی هستند [۸، ۹]. در بیشتر موارد گارنت یکی از کانیهای اصلی اسکارن به حساب می آید و در منطقه مورد بررسی نیز فراوانی پرفیروblastهای آن در زونهای مختلف دگرگونی به فراوانی مشاهده می شود، و از آنجا که در اولین زون دگرگونی اسکارن حسن آباد، کانی گارنت با دو بعد متفاوت همراه با کانی ولاستونیت (به مقدار تقریباً برابر با گارنت)، دیوپسید و کلسیت مشاهده می شود، نامگذاری اولین زون دگرگونی (یا به عبارتی اولین منطقه کانی زایی با کنتاکت توده نفوذی) نیاز به دقت بیشتری دارد، و محاسبه فراوانی کانیهای موجود در این منطقه لازم به نظر می رسد. با توجه به اینکه گارنت سبز رنگ به خوبی قابل شناسایی است، تعیین مقدار و توزیع شبکه سه بعدی این کانی در سنگ برای نامگذاری زون مورد توجه قرار گرفت.

#### موقعیت زمین شناسی

منطقه مورد مطالعه در فاصله ۸۰ کیلومتری جنوب باختری شهرستان یزد و روی نوار ماقماتیسم سنوزوئیک ایران مرکزی مشهور به ارومیه دختر واقع شده است [۱۰]. این منطقه به شدت زمین ساختی بوده و همه واحدهای سنگی آن جابه جا شده اند. این فعالیت به علت قرار گرفتن آن در یک زون گسلی بین گسل اصلی دهشیر- بافت و گسل توران پشت- شمس آباد که یکی از گسلهای فرعی و منشعب از آن است، بیش از مناطق مجاور می باشد. این پیکرۀ گسلی متاثر از آخرین رخداد زمین ساختی آلپ است که پیامد آن فورانهای آتشفسانی است [۱۱]. قدیمی ترین سنگ هایی که در این منطقه رخنمون دارند به کرتاسه (آهک سازند تفت) وابسته بوده و جوان ترین سنگها را آبرفتها و نیز تراورندهای دوره حاضر تشکیل می دهند که هنوز از چشم های تراورتن ساز در حال نهشته شدن هستند (شکل ۲، a).

از مدل بر حسب نیاز کاربر حذف شود، درصد حجم باقیمانده به سادگی با استفاده از تقسیم حجم باقیمانده به حجم کل مدل، قابل محاسبه خواهد بود. بدیهی است که توزیع پارامترهای آماری مدل، راهنمای مناسبی برای بررسیهای تکمیلی است. هرچه داده های موجود بیشتر و فاصله آنها نسبت به ابعاد مدل کمتر باشد، مدل ساخته شده دقیقتر خواهد بود. انتخاب روش مناسب برای مدل سازی، درست ترین تصویر از توزیع فضایی پارامتر مورد مطالعه را ایجاد می کند.

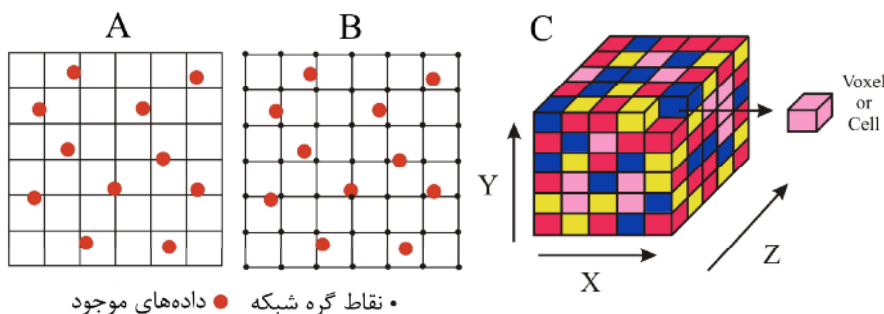
این کار پژوهشی، چگونگی کاربرد روش مدل سازی در ابعاد کوچک و با دقت بسیار بالا را در تعیین مقادیر، و شکل فضایی کانیها در حجم سنگ نشان می دهد. با توجه به روش به کار رفته و استفاده از حجم بالای داده ها برای مدل سازی، نتیجه نهایی حداکثر نزدیکی به توزیع واقعی کانیها را در سنگ خواهد داشت. این روش می تواند علاوه بر تعیین مقدار و توزیع کانیهای موجود در سنگ، در مواردی مانند تعیین تخلخل سنگها، محاسبه عیار ماده معدنی و باطله کانسارها، بررسی آبگونهای درگیر، تعیین کردن نام سنگ، زون بندی منطقه، و آرایش و جهت یافتنی سه بعدی کانیها نیز به کار رود. با توجه به حجم بسیار بالای داده های ورودی به نرم افزار در این روش، محدودیت سخت افزارهای رایانه ای سبب می شود تا تهیه مدل هایی با ابعاد بزرگتر مشکل شود. بدیهی است که با افزایش کارایی سخت افزارهای رایانه ای در آینده نه چندان دور، این مشکل بر طرف خواهد شد.

در اینجا برای معرفی روش، مقدار، و توزیع شبکه فضایی گارنت در اولین زون اسکارن حسن آباد یزد، موردی تعیین می شود.

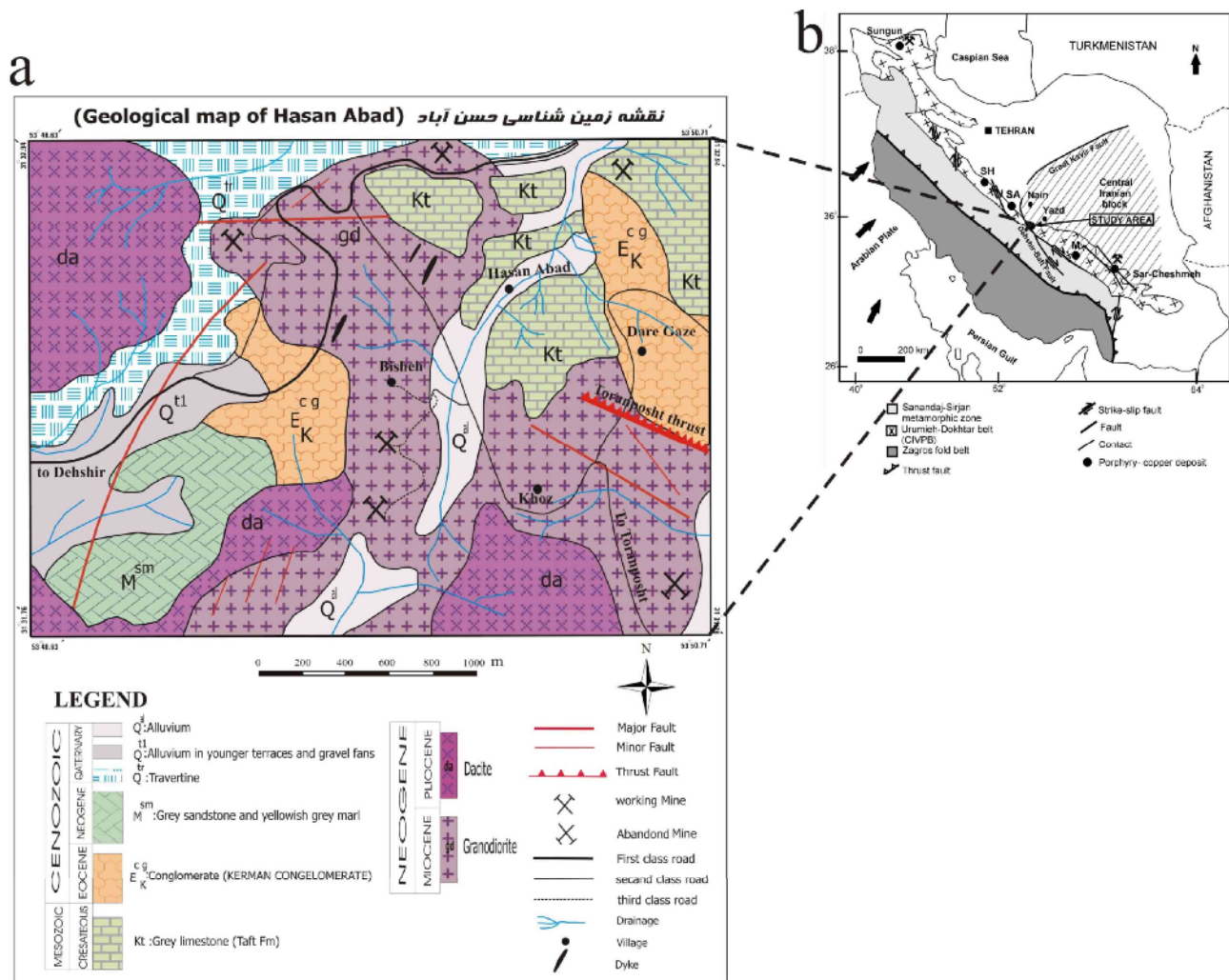
یکی از مهم ترین پارامترها در بررسی اسکارنهای زون بندی آنها است. زون بندی از مقیاس میکرومتری تا کیلومتری گسترش دارد و بازتاب دهنده نفوذ آبگون، واکنش سنگ دیواره، تغییرات دما، و اختلاط آبگون است [۵، ۶]. اغلب نهشته های اسکارن بزرگ با فاصله از توده نفوذی و نیز زمان نسبی وابسته به نفوذ، زون بندی می شوند [۷]. در اغلب اسکارنهای یک الگوی زون بندی عمومی (زون نزدیک به خاستگاه گارنت، زون دور از خاستگاه پیروکسین، و کانیهای اختصاصی وزوویانیت یا پیروکسنوئید، مانند ولاستونیت و رودونیت) در کنتاکت اسکارن و آهک وجود دارد. تغییر در این الگوی عمومی بازتاب دهنده

ریزدانه با رنگ عمومی ارغوانی آغاز می‌شود. پایان بخش ته-نشسته‌های میوسن در ناحیه مورد بررسی، لایه‌های ماسه‌سنگ و کنگلومرا به رنگ خاکستری تیره است.

دنباله ته نشستی مزوژوئیک با کنگلومرا (کنگلومرا کرمان) و سنگهای آتشفشاری ته نشستی اوسن پوشیده می‌شود [۱۲]. نهشته‌های میوسن با ته نشسته‌های مارن و ماسه‌سنگ



شکل ۱: A: برداشت داده‌های پراکنده. B: ساخت نقاط گره شبکه با استفاده از داده‌های برداشت شده. C: شبکه سه‌بعدی و واحد آن (سلول شبکه).



شکل ۲: A: نقشه راهنمای موقعیت منطقه مورد بررسی در زون ارومیه-دختر و زونهای زمین‌ساختی اصلی ایران. M: نهشته‌های مس پرفیری میدوک. SA: بخش جنوبی نهشته‌های پرفیری اردستان. SH: نهشته‌های مس پورفیری شریف آباد [۱۲]. B: نقشه زمین‌ساختی منطقه مورد بررسی در جنوب باختری شهرستان بزد.

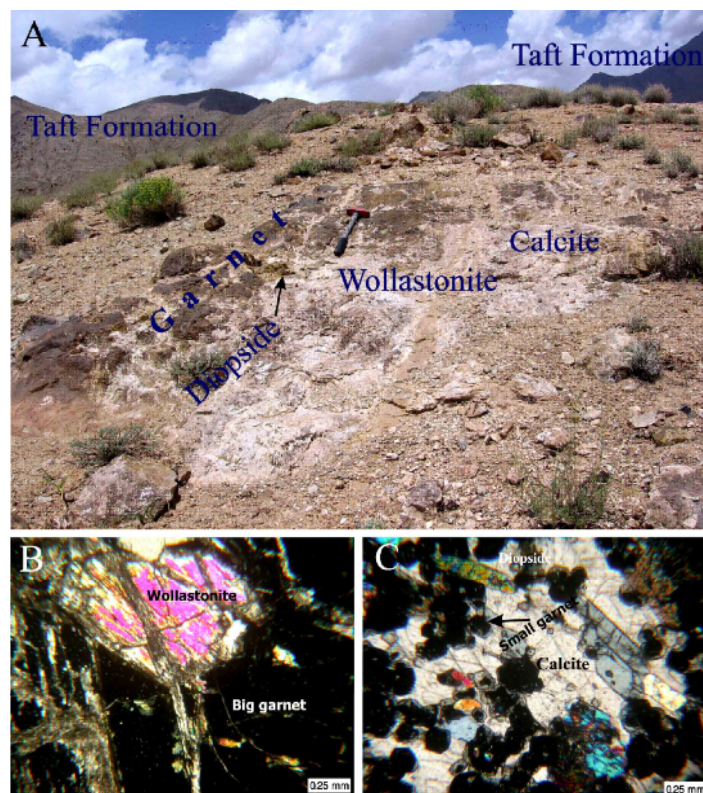
سالم و قابل شناسایی هستند (شکل ۳). نخست همه نمونه‌های مورد نظر در ابعاد چند سانتیمتری برش داده شدند و سطح نمونه مورد مطالعه کاملاً صاف شده و تصویر رقومی [digital] سطح آن تهیه شد. سپس لایه بسیار نازک ۳۰۰ میکرونی از سطح آن برداشت شده و این فرایند دوباره تکرار شد. این ضخامت، با توجه به ابعاد بلورهای مورد مطالعه انتخاب شده است. نظر به اینکه کمترین ضخامت کوچکترین بلور از این رقم بیشتر است، هیچ بلوری در مدل‌سازی در این ابعاد حذف نمی‌شود. باید توجه داشت که تصاویر تهیه شده باید در همه ویژگی‌های تصویری شامل مواردی مانند نور، وضوح، شفافیت، حد تفکیک، و اندازه کاملاً یکسان باشند. برداشت لایه‌ها و تهیه تصاویر رقومی تا چند برابر بزرگترین بلور موجود در سنگ ادامه یافت. در شکل ۴ تصاویر مقاطع متواالی دو نمونه سنگ به عنوان مثال آورده شده اند. با دقت در ۳۰ مقطع از هر نمونه برداشت شده، و توزیع فضایی بلورها در مدل‌های ساخته شده معلوم شد که بلورهای گارنت در برخی مقاطع کوچکتر و یا حذف شده (به وسیله بلورهای کلسیت جایگزین می‌شوند) و در برخی دیگر رفتارهای بزرگتر شده‌اند. در واقع ابعاد گارنتها و چگونگی قرارگیری آنها در فضای سنگی، بسته به وجود درز و شکاف‌ها، متغیر بوده است، و زمین‌ساختی بودن منطقه (چنانکه در موقعیت زمین‌شناسی گفته شد) و نیز اهمیت نقش آبگونها را در تولید کانیها تأیید می‌کند. تصاویر تهیه شده در نرم‌افزارهای پردازش عکس، مورد بررسی قرار گرفت تا هرگونه تمایزی در ویژگی‌های عکس‌های تهیه شده برطرف شود.

هر عکس در سیستم رقومی نقشه‌بیتی (bitmap) از مجموعه اجزایی تشکیل شده که سلول تصویری (Pixel) نامیده می‌شوند. چنانچه یک عکس در سیستم مختصات دکارتی دو بعدی مکان‌یابی (register) شود، هریک از سلوهای تصویری دارای مختصات منحصر به فردی خواهد بود. با توجه به اینکه تصاویر تهیه شده در بعد سوم نیز در کنار یکدیگر قرار دارند، هر سلول تصویری دارای مختصات  $x$ ,  $y$ , و  $z$  مخصوص به خود است. همچنین هر نقطه در سیستمهای رنگی RGB (سرخ، سبز، آبی) دارای مقادیر مربوط به ارزش‌های سه رنگ اصلی است. از آنجا که رنگ کانیهای مورد بررسی در این بررسی سبز است، بیشترین تغییرات رنگی مربوط به نوار سبز (نوار تیره‌تر) عکس خواهد بود. لذا لازم است تا دونوار رنگی دیگر از عکس حذف شوند و ارزش رنگی سبز هر نقطه (g) به عنوان پارامتر مدل در کنار مختصات قرار گیرد.

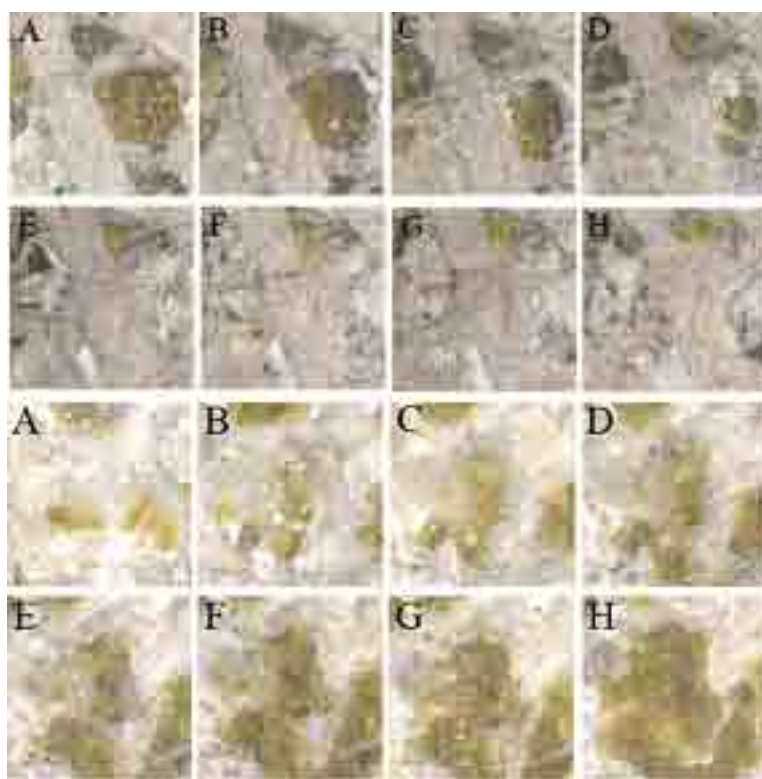
سنگهای آذرین گسترش وسیعی در منطقه مورد مطالعه دارند. سنگهای بیرونی شامل داسیت و آندزیت، و سنگهای درونی دارای طیف ترکیبی شامل دیوریت، دیوریت کوارتزدار و گرانودیوریت است. پلازیوکلاز کانی عمده این سنگهای است. اسکارن حسن‌آباد در اثر نفوذ توده گرانودیوریتی مربوط به نوار ارومیه- دختر در آهکهای کرتاسه ایجاد شده است. این نوار ماگمای- مالتوزنیک موازی نوار چین خورده- برخورده زاگرس است که در شمال شرقی این زون گسلشی قرار دارد. پلوتونیک، آتشفسان، و کانی زایی وابسته به آن در نتیجه فرورانش در نوار برخورده زاگرس ایجاد شده است [۱۳] (شکل ۲، b). در هاله دگرگونی ایجاد شده کانیهای ولاستونیت، گارنت، دیوبسید، وزوویانیت، اپیدوت، کلینتونیت و افریت توسط مقاطع میکروسکوپی و بررسیهای دقیقتر ۶۰ نمونه با پراش پرتو ایکس (XRD) شناسایی شده‌اند.

### روش مطالعه، بحث و بررسی

برای ساخت یک مدل سه‌بعدی نیاز به اطلاعات دقیقی از بخش‌های مختلف مدل است تا نرم‌افزارهای تخصصی مدل‌سازی با استفاده از این نقاط معلوم، نقاط نامعلوم را در کل مدل بازسازی کنند. در مقیاسهای کوچک، استفاده از صفحات اطلاعاتی برای ساخت مدل نهایی در بررسیهای گوناگون به کار رفته است [۱۴، ۸]. روشهای تهیه این صفحات به دو نوع ویرانگر و ناویرانگر تقسیم می‌شوند. از روشهای ناویرانگر می‌توان به توموگرافی پرتو X (X-ray tomography)، و روش فضایی رایانه‌ای (C-T Scanning) اشاره کرد [۸، ۹]. با توجه به هزینه بالای این آنالیزها، عدم دقت کافی دستگاه مورد نظر برای نمونه سنگی، حد تفکیک پایین، و عدم رنگ‌بندی مناسب در اغلب این روشهای در بسیاری از موارد روشهای ویرانگر برتری دارند. در بررسیهای سطح الارضی و در مواردی که دسترسی آسان به حجم بالای نمونه‌ها امکان‌پذیر است، مشکل از بین رفتن نمونه نیز وجود نخواهد داشت. در این بررسیها از روش تهیه مقاطع متواالی از یک سنگ برای مدل‌سازی آن استفاده شده است. از کنتاکت توده نفوذی به سمت دومین زون دگرگونی (حد جدایش زون اول و دوم دگرگونی با حضور یا عدم حضور کانی وزوویانیت و افزایت مشخص می‌شود) تعداد ۵۰ نمونه سنگی با فواصل تقریباً یکسان برای تعیین مقدار کانی گارنت و نیز پراکندگی سه‌بعدی این کانی در سنگهای این زون برداشت شدند. این نمونه‌ها به گونه‌ای انتخاب شدند که توزیع یکنواختی را در منطقه نشان دهند. همه این نمونه‌ها



شکل ۳: A: نمای کلی از زون مورد مطالعه. B و C: تصاویر کانیهای این زون در مقطع میکروسکوپی.



شکل ۴: مقاطع متواالی تهیه شده از دو نمونه مورد مطالعه.

تعداد اجزای تصویری عکس در دو بعد  $x$  و  $y$  دارای داده است. به عبارت دیگر به ازای هر جزء تصویری، مقدار متناظر ارزش نوار رنگ سبز (نوار تیره) وجود دارد، لذا مدل ساخته شده از دقت بسیار بالایی برخوردار است. چنانکه مشاهده می شود، این روش روی نمونه هایی با ویژگی های متفاوت آزمایش شده و نتایج، درستی فرایند مدل سازی را نشان می دهد. چنانکه یادآور شدیم، مدل به دست آمده توزیع کامل ارزش نوار رنگ سبز (نوار شدیم، مدل به دست آمده توزیع کامل ارزش نوار رنگ سبز (نوار تیره) را با مقیاس رنگی نشان می دهد. برای بررسی درستی مدل های ساخته شده، مقاطعی افقی از مدلها انتخاب، و با عکس های اولیه مقایسه شدند (شکل<sup>۶</sup>). چنانکه شکل نشان می دهد، توزیع کانی مورد مطالعه در عکس اولیه و مدل ساخته شده بسیار شبیه بوده و فرایند ساخت مدل را تأیید می کند.

برای برآورده مقدار کانی مورد مطالعه در حجم سنگ، لازم است تا بخش های اضافی از مدل حذف شوند. این کار با فیلتر کردن مدل های به دست آمده امکان پذیر است. با توجه به اینکه مدل سازی روی نوار سبز (نوار تیره تر) انجام گرفته و کانی مورد مطالعه نیز سبز رنگ است، تغییرات ناگهانی در ارزش های مدل در نقاط مرزی کانی با زمینه سنگ وجود خواهد داشت. از این رو لازم است تا این نقاط عطف که تغییرات عددی مدل در آنها ناگهانی است، به طریقی مشخص شود. بدین منظور از منحنی توزیع بهنجار مدل های تهیه شده استفاده شود (شکل<sup>۷</sup>). این نقاط عطف روی منحنی توزیع بهنجار با مقادیر «میانگین  $\pm$  انحراف معیار» سازگاری دارند. از این حد در بررسی های گوناگون برای فیلتر کردن داده ها استفاده شد [۱۵ تا ۱۷]. محاسبات آماری دیگر مربوط به چهار مدل شکل ۵ نیز در جدول ۱ به عنوان نمونه ارائه شده است. در این کار نیز مدل های به دست آمده با استفاده از دو عدد مربوط به میانگین  $\pm$  انحراف معیار فیلتر شدند. با توجه به اینکه همواره مقدار زمینه سنگ از کانی بیشتر است، مقادیر توزیع شده حول میانگین تا انحراف معیار داده ها، نشان دهنده مقادیر مربوط به زمینه سنگ است. با کاستن این مقادیر از کل جمعیت مدل، مقادیر کانی در سنگ به دست خواهد آمد (شکل<sup>۸</sup>). چنانچه حجم کانی های به دست آمده در مدل فیلتر شده به حجم کل مدل تقسیم شود، مقدار نسبی کانی های موجود در سنگ مشخص می شود. در صد این نسبت، میزان کانی های موجود در سنگ را نشان می دهد (فرمول ۱).

$$V = \frac{FMV}{MV} \times 100$$

برای انجام کلیه محاسبات ریاضی و ساخت شبکه مختصات عکس در این کار پژوهشی از نرم افزار متلب (MATLAB) استفاده شد. نرم افزار متلب یک زبان برنامه نویسی ریاضی است که با دارا بودن توابع کتابخانه ای از پیش تعریف شده، امروزه به قویترین زبان برنامه نویسی ریاضی علمی تبدیل شده است. برنامه فرایند مورد نظر در این نرم افزار نوشته و آماده اجرا شد. نخست هر عکس با نوار های کامل رنگی به نرم افزار وارد شد. کلیه داده ها در این نرم افزار شکل ماتریسی دارند. در نتیجه هر ماتریس کامل عکس در این نرم افزار به صورت  $m \times n \times 3$  شناخته می شود که در آن  $m$  طول و عرض عکس بر حسب  $n$  تعداد اجزای تصویری (تعداد پیکسلها) و عدد ۳ نشان دهنده نوار های رنگی سرخ، سبز، و آبی است. نوار های رنگی سرخ و آبی از ماتریس بالا حذف، و سپس مختصات کلیه اجزای تصویری عکس در ماتریس  $m \times n$  ذخیره شدند. ماتریس های  $Z$  مربوط به عکس های متوالی به صورت ستونی مرتب و ارزش های  $Z$  مربوط به شماره عکس در مقاطع پی در پی و ارزش چهارم مربوط به مقدار عددی رنگ سبز نقطه مورد نظر به آن اضافه شد. ماتریس نهایی با چهار ستون  $Z, x, y, g$  در فایل اسکی<sup>۱</sup> استاندارد ذخیره شد. با توجه به توانایی های نرم افزار راکورس<sup>۲</sup> و تخصصی بودن این نرم افزار، کار مدل سازی نهایی با استفاده از این نرم افزار انجام گرفت. این نرم افزار دارای توانایی های منحصر به فردی در زمینه مدل سازی بوده و در مطالعات دیگر مدل سازی نتایج قابل قبولی از آن به دست آمده است [۲]. برای مدل سازی روش های گوناگون ریاضی وجود دارند که در این کار از روش «نقطه هم جوار» (closest point) استفاده شد. در این روش هر نقطه مجھول، ارزش مربوط به نزدیکترین نقطه معلوم را خواهد داشت. این روش در مواردی که تغییرات پارامتر مورد نظر در درون مدل ناگهانی است، بهترین روش مدل سازی محسوب می شود. در این کار پژوهشی با توجه به ماهیت کانی ها در زمینه سنگ و مرز های ناگهانی آنان این روش انتخاب شد. نتایج تجربی نیز این روش مدل سازی را تأیید کرده است. مدل نهایی، مدلی کامل از تمامی حجم سنگ بر پایه توزیع ارزش نوار رنگی سبز (نوار تیره) است.

شکل ۵ تعداد چهار مدل از مجموع مدل های به دست آمده را به عنوان نمونه نشان می دهد. شبکه سه بعدی ساخته شده به

1- ASCII

2 - RockWorks

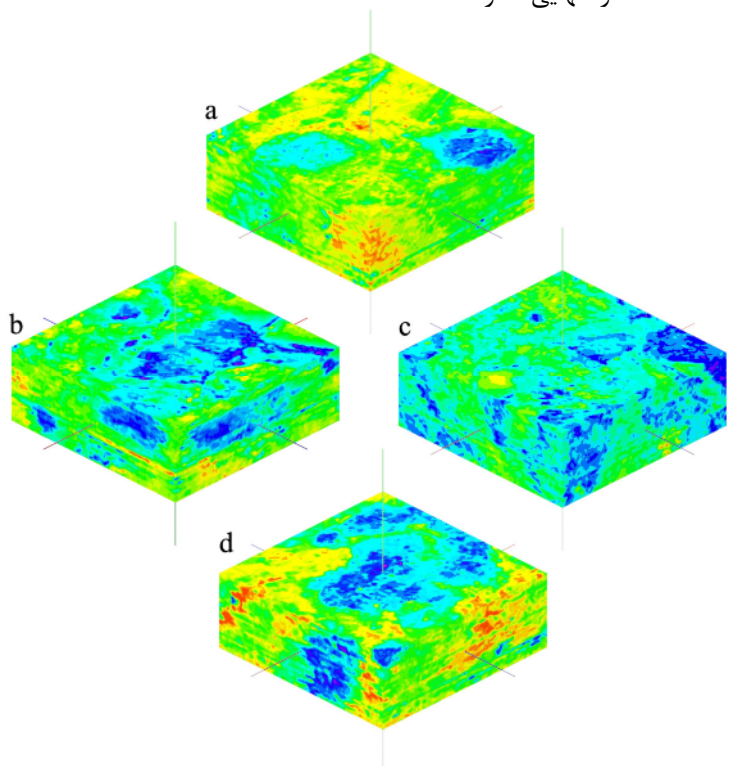
میانگین عددی مقادیر مدل‌های به دست آمده خواهد بود.

با توجه به مقدار حجمی میانگین  $31/4$  درصدی گارت می‌توانیم اولین زون منطقه مورد مطالعه را گارت- ولاستونیت بنامیم که این گارت‌ها توزیع فضایی یکنواختی را در متن سنگ نشان نمی‌دهند.

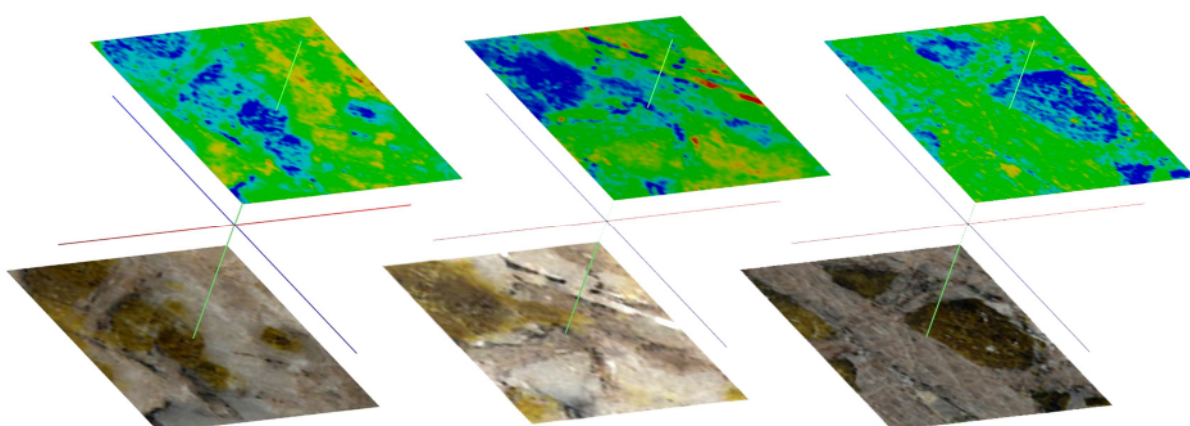
#### فرمول ۱

که در آن FMV حجم مدل فیلتر شده (حجم کانیها) و MV حجم کل مدل است.

جدول ۲ مقادیر گارت به دست آمده از مدل‌سازی مجموعه نمونه‌ها را نشان می‌دهد. از آنجا که نمونه‌ها از بخش‌های مختلف منطقه مورد مطالعه برداشت شده‌اند، مقدار نهایی گارت،



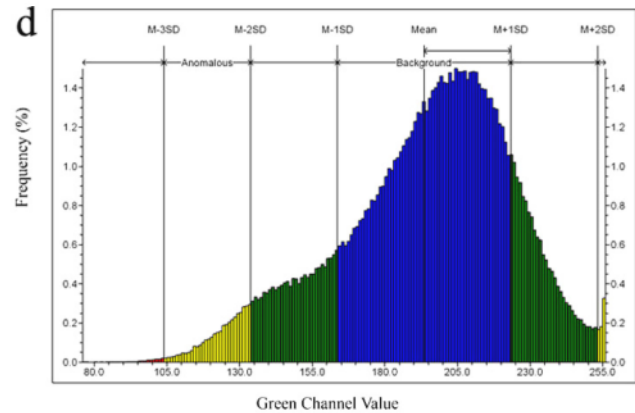
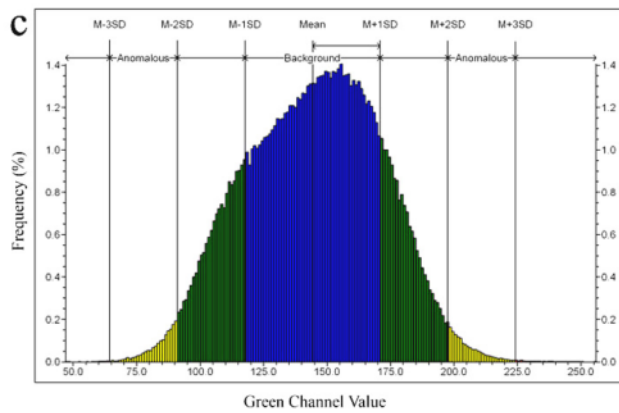
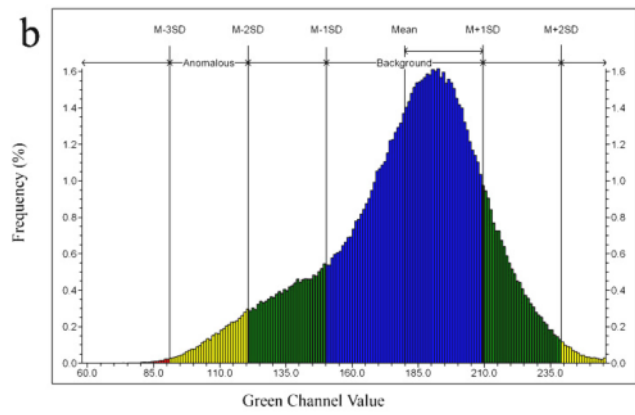
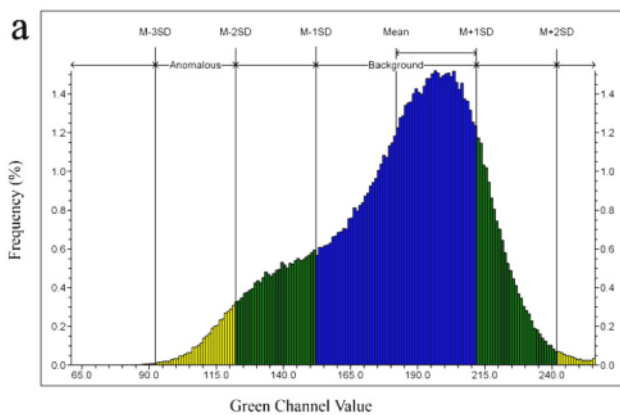
شکل ۵ چهار نمونه از مدل‌های کامل ساخته شده از توزیع طیف رنگی نوار سبز (نوار تیره) در نمونه‌های مورد بررسی (ابعاد نمونه‌ها در حد چند سانتی‌متر است).



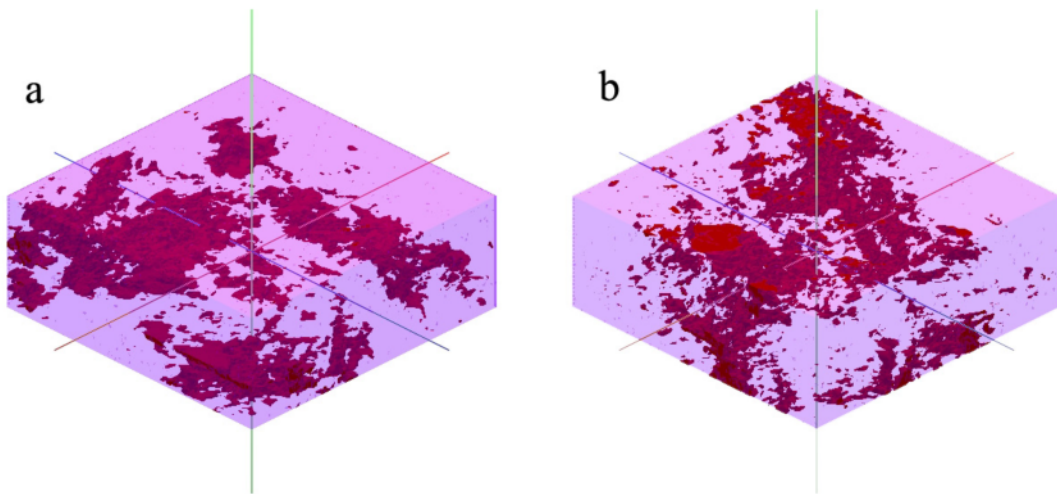
شکل ۶ مقایسه مقاطع افقی سه نمونه از مدل‌های ساخته شده با عکس‌های اولیه (مقاطع مدلها در بخش بالا و تصاویر برشهای سنگی در بخش پایین).

جدول ۱ محاسبه پارامترهای آماری چهار نمونه شکل ۵ (جمعیت بر حسب تعداد سلوهای اعداد دیگر بر حسب گستره توزیع نوار رنگ سبز (نوار تیره) در مدل می باشد)

پارامتر آماری	محاسبات آماری، نمونه a	محاسبات آماری، نمونه b	محاسبات آماری، نمونه c	محاسبات آماری، نمونه d
جمعیت مدل	۴۱۷۷۲۰	۴۱۷۷۲۰	۴۱۷۷۲۰	۴۱۷۷۲۰
جمعیت زمینه	۲۷۷۹۶۹	۲۹۱۲۰۲	۲۶۹۹۸۲	۲۸۶۴۶۹
حداقل	۶۱	۷۵	۴۷	۷۶
حداکثر	۲۵۶	۲۵۶	۲۵۶	۲۵۶
گستره	۱۹۴	۱۸۰	۲۰۸	۱۷۹
میانگین	۱۸۱.۹۶	۲۱۰.۱۸	۱۴۴.۲۶	۱۹۳.۵۲
انحراف معیار	۲۹.۸۹	۲۰.۴۰	۲۶.۶۴	۲۹.۸۵
میانه	۱۸۷	۲۱۲	۱۴۵	۱۹۸
ضریب تغییرات	۰.۱۶۴	۰..۹۷	۰.۱۸۴	۰.۱۵۴
میانگین - انحراف معیار	۱۵۲.۰۷	۱۸۹.۷۸	۱۱۷.۶۲	۱۶۳.۶۶
میانگین - ۲ برابر انحراف معیار	۱۲۲.۱۷	۱۶۹.۳۸	۹۰.۹۸	۱۳۳.۸۰
میانگین + انحراف معیار	۲۱۱.۸۵	۲۳۰.۵۸	۱۷۰.۹۰	۲۴۴.۳۷
میانگین + ۲ انحراف معیار	۲۴۱.۷۴	۲۵۰.۹۸	۱۹۷.۵۵	۲۵۳.۲۳



شکل ۷ منحنی توزیع بهنجار مربوط به چهار نمونه شکل ۵.



شکل ۸ دو نمونه از مدل‌های فیلتر شده (از مدل‌های a و b شکل ۵) که نشان دهنده توزیع کانیها در متن سنگ است.

جدول ۲ مقادیر حجمی محاسبه شده گارنت در ۵۰ نمونه.

شماره نمونه	مقدار کانی گارنت (%)	شماره نمونه								
۴۱	۳۴.۸	۴۲	۳۹.۷	۴۳	۳۸.۱	۴۴	۲۹.۲	۴۵	۲۹.۶	۴۶
	۳۴.۹		۲۹.۸		۳۴.۳		۴۲.۶		۳۲.۲	
۲۱	۳۳.۱	۳۲	۳۱.۱	۳۳	۲۷.۳	۳۴	۲۹.۳	۳۵	۳۷.۵	۲۶
۲۲	۳۰.۱	۱۱	۲۶.۴	۲۳	۲۹.۸	۱۴	۲۷.۳	۱۵	۳۱.۷	۱۶
۱۲	۲۷.۲	۱۳	۳۲.۱	۱۴	۲۵.۲	۱۵	۲۹.۴	۱۶	۳۰.۲	۱۷
۲۷	۴۱.۶	۳۷	۳۷.۶	۴۸	۳۶.۷	۴۹	۳۱.۹	۵۰	۳۳.۳	۵۱
۱۷	۲۹.۶	۱۷	۲۹.۱	۲۸	۲۸.۳	۱۹	۲۹.۲	۲۰	۳۳.۱	۵۲
۱۸	۲۹.۴	۱۶	۳۰.۲	۱۹	۳۳.۱	۵۳	۲۸.۵	۲۱	۳۱.۴	۵۴
۱۹	۳۳.۱	۲۰	۲۸.۵	۲۱	۳۱.۴	۵۵	۲۷.۳	۲۲	۲۷.۲	۵۶
۲۰	۲۷.۲	۲۱	۲۶.۴	۲۲	۲۹.۸	۲۳	۲۹.۳	۲۴	۲۹.۳	۵۷
۲۱	۲۶.۴	۱۱	۳۲.۱	۱۲	۲۷.۲	۱۳	۲۵.۲	۱۴	۲۹.۴	۵۸
۱۲	۲۷.۲	۱۳	۳۲.۱	۱۴	۲۵.۲	۱۵	۲۹.۴	۱۶	۳۰.۲	۵۹
۱۳	۲۵.۲	۱۴	۳۰.۲	۱۵	۲۹.۴	۱۶	۳۰.۲	۱۷	۳۱.۴	۶۰
۱۴	۲۹.۴	۱۵	۳۱.۴	۱۶	۳۰.۲	۱۷	۳۱.۴	۱۸	۳۲.۱	۶۱
۱۵	۳۲.۱	۱۶	۳۰.۲	۱۷	۳۱.۴	۱۸	۳۲.۱	۱۹	۳۳.۱	۶۲
۱۶	۳۰.۲	۱۷	۳۱.۴	۱۸	۳۲.۱	۱۹	۳۳.۱	۲۰	۳۴.۵	۶۳
۱۷	۳۱.۴	۱۸	۳۲.۱	۱۹	۳۳.۱	۲۰	۳۴.۵	۲۱	۳۴.۵	۶۴
۱۸	۳۳.۱	۱۹	۳۴.۵	۲۰	۳۴.۵	۲۱	۳۴.۵	۲۲	۳۴.۵	۶۵
۱۹	۳۴.۵	۲۰	۳۴.۵	۲۱	۳۴.۵	۲۲	۳۴.۵	۲۳	۳۴.۵	۶۶
۲۰	۳۴.۵	۲۱	۳۴.۵	۲۲	۳۴.۵	۲۳	۳۴.۵	۲۴	۳۴.۵	۶۷
۲۱	۳۴.۵	۲۲	۳۴.۵	۲۳	۳۴.۵	۲۴	۳۴.۵	۲۵	۳۴.۵	۶۸
۲۲	۳۴.۵	۲۳	۳۴.۵	۲۴	۳۴.۵	۲۵	۳۴.۵	۲۶	۳۴.۵	۶۹
۲۳	۳۴.۵	۲۴	۳۴.۵	۲۵	۳۴.۵	۲۶	۳۴.۵	۲۷	۳۴.۵	۷۰
۲۴	۳۴.۵	۲۵	۳۴.۵	۲۶	۳۴.۵	۲۷	۳۴.۵	۲۸	۳۴.۵	۷۱
۲۵	۳۴.۵	۲۶	۳۴.۵	۲۷	۳۴.۵	۲۸	۳۴.۵	۲۹	۳۴.۵	۷۲
۲۶	۳۴.۵	۲۷	۳۴.۵	۲۸	۳۴.۵	۲۹	۳۴.۵	۳۰	۳۴.۵	۷۳
۲۷	۳۴.۵	۲۸	۳۴.۵	۲۹	۳۴.۵	۳۰	۳۴.۵	۳۱	۳۴.۵	۷۴
۲۸	۳۴.۵	۲۹	۳۴.۵	۳۰	۳۴.۵	۳۱	۳۴.۵	۳۲	۳۴.۵	۷۵
۲۹	۳۴.۵	۳۰	۳۴.۵	۳۱	۳۴.۵	۳۲	۳۴.۵	۳۳	۳۴.۵	۷۶
۳۰	۳۴.۵	۳۱	۳۴.۵	۳۲	۳۴.۵	۳۳	۳۴.۵	۳۴	۳۴.۵	۷۷
۳۱	۳۴.۵	۳۲	۳۴.۵	۳۳	۳۴.۵	۳۴	۳۴.۵	۳۵	۳۴.۵	۷۸
۳۲	۳۴.۵	۳۳	۳۴.۵	۳۴	۳۴.۵	۳۵	۳۴.۵	۳۶	۳۴.۵	۷۹
۳۳	۳۴.۵	۳۴	۳۴.۵	۳۵	۳۴.۵	۳۶	۳۴.۵	۳۷	۳۴.۵	۸۰
۳۴	۳۴.۵	۳۵	۳۴.۵	۳۶	۳۴.۵	۳۷	۳۴.۵	۳۸	۳۴.۵	۸۱
۳۵	۳۴.۵	۳۶	۳۴.۵	۳۷	۳۴.۵	۳۸	۳۴.۵	۳۹	۳۴.۵	۸۲
۳۶	۳۴.۵	۳۷	۳۴.۵	۳۸	۳۴.۵	۳۹	۳۴.۵	۴۰	۳۴.۵	۸۳
۳۷	۳۴.۵	۳۸	۳۴.۵	۴۰	۳۴.۵	۴۱	۳۴.۵	۴۲	۳۴.۵	۸۴
۳۸	۳۴.۵	۴۰	۳۴.۵	۴۲	۳۴.۵	۴۳	۳۴.۵	۴۴	۳۴.۵	۸۵
۳۹	۳۴.۵	۴۱	۳۴.۵	۴۳	۳۴.۵	۴۴	۳۴.۵	۴۵	۳۴.۵	۸۶
۴۰	۳۴.۵	۴۲	۳۴.۵	۴۴	۳۴.۵	۴۵	۳۴.۵	۴۶	۳۴.۵	۸۷
۴۱	۳۴.۵	۴۳	۳۴.۵	۴۵	۳۴.۵	۴۶	۳۴.۵	۴۷	۳۴.۵	۸۸
۴۲	۳۴.۵	۴۴	۳۴.۵	۴۶	۳۴.۵	۴۷	۳۴.۵	۴۸	۳۴.۵	۸۹
۴۳	۳۴.۵	۴۵	۳۴.۵	۴۷	۳۴.۵	۴۸	۳۴.۵	۴۹	۳۴.۵	۹۰
۴۴	۳۴.۵	۴۶	۳۴.۵	۴۸	۳۴.۵	۴۹	۳۴.۵	۵۰	۳۴.۵	۹۱
۴۵	۳۴.۵	۴۷	۳۴.۵	۵۰	۳۴.۵	۵۱	۳۴.۵	۵۲	۳۴.۵	۹۲
۴۶	۳۴.۵	۴۸	۳۴.۵	۵۱	۳۴.۵	۵۲	۳۴.۵	۵۳	۳۴.۵	۹۳
۴۷	۳۴.۵	۴۹	۳۴.۵	۵۲	۳۴.۵	۵۳	۳۴.۵	۵۴	۳۴.۵	۹۴
۴۸	۳۴.۵	۵۰	۳۴.۵	۵۴	۳۴.۵	۵۵	۳۴.۵	۵۶	۳۴.۵	۹۵
۴۹	۳۴.۵	۵۱	۳۴.۵	۵۶	۳۴.۵	۵۷	۳۴.۵	۵۸	۳۴.۵	۹۶
۵۰	۳۴.۵	۵۲	۳۴.۵	۵۷	۳۴.۵	۵۸	۳۴.۵	۵۹	۳۴.۵	۹۷
۵۱	۳۴.۵	۵۳	۳۴.۵	۵۹	۳۴.۵	۶۰	۳۴.۵	۶۱	۳۴.۵	۹۸
۵۲	۳۴.۵	۵۴	۳۴.۵	۶۰	۳۴.۵	۶۱	۳۴.۵	۶۲	۳۴.۵	۹۹
۵۳	۳۴.۵	۵۵	۳۴.۵	۶۱	۳۴.۵	۶۲	۳۴.۵	۶۳	۳۴.۵	۱۰۰
۵۴	۳۴.۵	۵۶	۳۴.۵	۶۲	۳۴.۵	۶۳	۳۴.۵	۶۴	۳۴.۵	۱۰۱
۵۵	۳۴.۵	۵۷	۳۴.۵	۶۳	۳۴.۵	۶۴	۳۴.۵	۶۵	۳۴.۵	۱۰۲
۵۶	۳۴.۵	۵۸	۳۴.۵	۶۴	۳۴.۵	۶۵	۳۴.۵	۶۶	۳۴.۵	۱۰۳
۵۷	۳۴.۵	۵۹	۳۴.۵	۶۵	۳۴.۵	۶۶	۳۴.۵	۶۷	۳۴.۵	۱۰۴
۵۸	۳۴.۵	۶۰	۳۴.۵	۶۶	۳۴.۵	۶۷	۳۴.۵	۶۸	۳۴.۵	۱۰۵
۵۹	۳۴.۵	۶۱	۳۴.۵	۶۷	۳۴.۵	۶۸	۳۴.۵	۶۹	۳۴.۵	۱۰۶
۶۰	۳۴.۵	۶۲	۳۴.۵	۶۸	۳۴.۵	۶۹	۳۴.۵	۷۰	۳۴.۵	۱۰۷
۶۱	۳۴.۵	۶۳	۳۴.۵	۶۹	۳۴.۵	۷۰	۳۴.۵	۷۱	۳۴.۵	۱۰۸
۶۲	۳۴.۵	۶۴	۳۴.۵	۷۰	۳۴.۵	۷۱	۳۴.۵	۷۲	۳۴.۵	۱۰۹
۶۳	۳۴.۵	۶۵	۳۴.۵	۷۱	۳۴.۵	۷۲	۳۴.۵	۷۳		

- [4] Monteiro L.V.S., Xavier R.P., Carvalho E.R., Hitzman N.W., Johnson C.A., Filho C.R.S., Torresi I., "Spatial and temporal zoning of hydrothermal alteration and mineralization in the Sosego iron oxide- copper – gold deposit, Carajas Mineral province, Brazil: paragenesis and stable isotope constraints", Miner deposita 26 (2006) 121-148.
- [5] Nakano T., "The zoned skarn developed in diorite porphyry in the Shinyama area, Kamaishi mine, Japan", Mining Geology 28 (1978) 99-109.
- [6] Ochiai K., "A reaction model relating skarn zones and ore formation at the Nippo copper ore deposite, Kamaishi mine, northern Japan", Economic Geology 82 (1978) 1001-1018.
- [7] Meinert L.D., "Application of skarn deposite zonation models to mineral exploration,", Canadian Institute of Mining Metallurgy petroleum 6 (1998) 185-208.
- [8] Al-Kharusi A.S., Blunt M.J., "Network extraction from sandstone and carbonate pore space images", Journal of Petroleum Science and Engineering 56 (2007) 219–231.
- [9] Gryze S. D., Jassogne L., Six J., Bossuyt H., Wevers M., Mercks, R., "Pore structure changes during deposiotion of fresh residue: X-ray tomography analysis", Geoderma 134 (2006) 82-96.
- [10] Jankovic S., "Metallogeny of the Alpine granitoids in the Tethyan-Eurasian metallogenic belt," in Proceedings of the 27th International Geological Congress Moscow August 4–14 12: Utrecht Netherlands,VNU Science Press (1984) 247-273.
- [11] دهقان منشادی ب., "مطالعه پترولوزی و ژئوشیمی ماسگماتیسم و دگرگونی منطقه دره زرشک - توران پشت، جنوب غربی یزد"، رساله کارشناسی ارشد دانشگاه تهران ۱۳۷۹.
- [12] Zaravandi A., Liaghat S., "Geology of the Darreh-Zerreshk and Ali-Abad Porphyry Copper Deposits, Central Iran", International Geology Review 47 (2005) 620–646.
- [13] Berberian M., King G. C. P., "Towards a paleogeography and tectonic evolution of Iran", Canadian Journal of Earth Sciences 18 (1981) 210–265.
- [14] Vogel H.J., Roth K., "Quantitative morphology and network representation of soil

مقدار و توزیع شبکه سه بعدی کانی (گارنت) نشان می دهد. مقدار حجمی گارنت موجود در این منطقه (به عبارتی اولین زون دگرگونی از سمت کنتاکت)  $31/4$  درصد است که نسبت به کانیهای زمینه (ولادستونیت، دیپسید، کلسیت) نسبت بالایی است. بنابراین، این زون را می توان زون گارنت- ولادستونیت نامید. با بررسی توزیع سه بعدی گارنت طبق مدلهای به دست آمده، زمین ساختی بودن منطقه و اهمیت نقش آبگونها در تشکیل این کانی تأیید می شود و نیز می توان به اطلاعات مفیدی از محیط تشکیل گارنت در زمان تولید و نیز رخدادهایی که پس از آن ممکن است آن را تحت تأثیر قرار داده باشند، پی برد. از آنجا که در این مقاله در معرفی این روش کوشش بسیاری شده است، شرح همه نتایج بدست آمده ممکن نبود، و در نتیجه اطلاعات دقیق تر و جزئی تر درباره محیط تشکیل و سرگذشت این کانی و کانیهای دیگر منطقه در بررسیهای بعدی به تفصیل بیان خواهد شد.

این روش به ویژه در بررسیهای کیفی معدن، می تواند کاربردهای زیادی داشته باشد، و با نمونه برداری های متناوب از یک کانی معدنی در مکان های مختلف یک کانسار به طوری که کل منطقه را پوشش دهد، می توان در حداقل زمان و با کمترین هزینه عیار ماده معدنی را تعیین کرد. همچنین در مواردی از قبیل بررسی آبگونهای درگیر و محاسبه نوع، مقدار تخلخل در مخازن نفتی، و بررسی زمین ساختی منطقه نیز کاربرد دارد.

## مراجع

- [1] Hilpert M., Miller C.T., "Pore-morphology-based simulation of drainage in totally wetting porous media", Advances in Water Resources 24 (2001) 243-255.
- [2] Wylie A. S., Wood J. R., "Well-log tomography and 3-D imaging of core and log-curve amplitudes in a Niagaran reef, Belle River Mills field, St. Clair County, Michigan, United States", AAPG Bulletin 89 (4) (2005) 409–433.
- [3] Hersum T.G., Marsh B.D., "Igneous microstructures from Kinetic models of crystallization", Journal of volcanology and geothermal research 154 (2006) 34-47.

T.J., "Modeling and assimilation of root zone soil moisture using remote sensing observations in Walnut Gulch Watershed during SMEX04", *Remote Sensing of Environment* (2007) in press

*pore Structure*", *Advances in Water Resources* 24 (2001) 233-242.

[15] Zhou G., "*A comparison of fractal dimension estimators based on multiple surface generation algorithms*", *Computer and Geosciences* 31 (2007) 1260-1269.

[16] Cooper G. R.J., Cowan D.R., "*Filtering using variable order vertical derivatives*", *Computers & Geosciences* 30 (2004) 455–459.

[17] Das N.N., Mohanty B.P., Cosh M.H., Jackson



